

[3] 鋼纖維補強鉄筋コンクリート梁の疲労性状

正会員 ○ 実 戸 眞 (東京都土木技術研究所)

正会員 関 口 幹 夫 (東京都土木技術研究所)

1. まえがき

コンクリートのぜい性的性質を改善する目的で、鋼纖維補強コンクリート（以下SFRCと記す）が多方面で研究・開発され、実用化もされている。筆者らは、この SFRC を一般の鉄筋コンクリート（RC）部材に適用することを考えて、RC部材における鋼纖維の挙動を実験的に調べてきた。それによると、SFRC は鉄筋の補強効果との相乗効果を發揮し、次のような特性が明らかにされた¹⁾。

- (1) ひびわれの分散性に富み、ひびわれ幅が小さい。
- (2) 中立軸位置が下方にさがり、曲げ剛性が大きくなる。また、荷重の増加に伴う剛性の低下割合が小さい。
- (3) 終局耐力が増加し、破壊時においても、“じん性”に富む。

これらの鋼纖維混入効果のうち、もっとも顕著な効果は、ひびわれの分散機能であり、そのメカニズムは鋼纖維とモルタル（コンクリート）との付着力に起因することも実験的に明らかにされている²⁾。ところで、これらの鋼纖維混入効果はすべて静的載荷時におけるものである。SFRC は材料学的に見て動的強度にすぐれているため、RC と SFRC との複合部材としての疲労性状も一般の RC 部材よりも改善されるものと考えられる。しかしながら、既往の報告をみても、SFRC 部材の疲労性状については明確にされていない。そこで本報文は、RC 部材に SFRC を適用したときの疲労性状を、一般の RC 部材と比較検討を行い、鋼纖維の有効性について論じる。

表1 配合表

2. 実験概要

実験に使用したコンクリートの配合は表-1に示すとおりで、鋼纖維はせん断異形（波型）ファイバ

種別	水セメント比W/C[%]	細骨材率S/a[%]	単位重量(kg/m³)				スランプ(cm)	空気量[%]
			水	セメント	細骨材	粗骨材		
プレーン	45	41	164	362	757	1,080	0.109*	—
SFRC	45	60	167	382	1,049	697	0.026**	118 8.7 3.5

*1 ヴィンブル *2 マイティ150

一で、 $0.25 \times 0.50 \times 25$ mm の寸法である。プレーンの配合も SFRC の配合も、単位水量がほぼ等しくなるように、SFRC の配合では高性能減水剤を使用している。SFRC の練混ぜは、生コン工場のミキシングプラントで行った。ハリ供試体の形状寸法は、図-1に示すような単鉄筋長方形パリで、主鉄筋には SD30-D16 ($\sigma_{sy} = 3800$ kgf/cm²) を用い、スターラップおよび組立て筋には、SD30-D10 を用いた。なお、このハリ供試体の鉄筋比は、一般的 RC 部材を考えて 1.2 %とした。ハリ供試体は、プレーンコンクリートを用いたハリ（以下 Pパリという）と SFRC を用いたハリ（以下 Fパリ）をそれぞれ 10 本づつ作製し、そのうち 3 本づつを予備試験に供し、残りの 7 本づつを疲労試験に供した。

疲労試験は、アムスラー型片振り疲労試験機を用い、スパン 150 cm、載荷スパン 40 cm の中央 2 点集中載荷とした。繰返し載荷の上限荷重の設定は、表-2 に示すように、P-1, 2, 7 と F-1, 2, 7 は図-1 に示すハリの許容応力度法による設計耐力 (4.2 tf) を上限荷重とし、P-3~6 と F-3~6 は、それぞれのハリの終局耐力 (Pパリ: 12.6 tf, Fパリ: 15.0 tf) の 60 ~ 80 %の荷重を上限荷重とした。したがって、設計荷重レベルの疲労性状と、高応力レベルでの疲労性状を調べることを目的とし、P-3, 4 と F-5 あるいは P-5 と F-6 は、ほぼ上限荷重

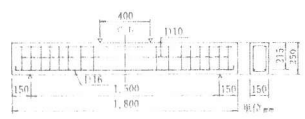


図-1 供試体の形状寸法

表-2 載荷荷重と試験結果

試験番号	支間の高さ(h)(cm)	上限荷重(H)(tf)*	レベル	疲労破壊回数	荷重(%)	試験日
P-1	25.3	4.2	設計	—	12.6	8/26-7/7
P-2	24.8	4.2	設計	—	12.7	7/22-
P-3	25.2	10.1	0.8P _u	—	14.6	8/29-
P-4	25.3	10.1	0.8P _u	152.5回	—	8/22-
P-5	25.1	8.8	0.77P _u	—	13.7	7/13-
P-6	25.4	7.7	0.67P _u	—	14.6	11/6-
P-7	25.4	4.3	2.2†	389.9回	—	11/25-
P-1	25.2	4.2	設計	—	15.1	7/8-
P-2	25.0	4.2	設計	—	14.0	8/8-
P-3	24.9	12.0	0.8P _u	30.0回	—	9/11-
P-4	24.9	12.0	0.8P _u	41.6回	—	10/6-
P-5	24.6	10.3	0.77P _u	—	14.6	10/9-
P-6	24.8	9.0	0.67P _u	—	14.7	11/16-
P-7	25.0	4.2	設計	—	13.5	12/11-

*1 上限荷重は実測の値を用いた。

*2 P-7は200万回後0.9tfにて疲労歯荷した。

が同一となるように実験計画が組まれている。また、繰返し載荷の下限荷重は、設計荷重レベルでは 1 t, 高応力レベルでは 2 t で一定とした。

計測項目は図-2 に示すように、たわみ、コンクリート面のひずみ、ひびわれ幅、鉄筋ひずみなどである。これらの計測は、繰返し回数 (N) が 1, 10, 1,000, 1 万, 10 万, 100 万, 200 万回に達した時点で試験機を止め、静的載荷試験を行い、疲労載荷過程における性状を調べることとした。

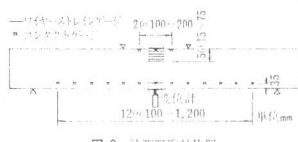


図-2 計測器取付位置

3. 曲げ疲労性状

(1) たわみ

静的載荷時における、荷重 (P) とたわみ (δ) の関係は図-3 に示す概念図のとおりである。P バリは荷重の初期段階でひびわれによる折れ曲り点を呈するが、F バリはひびわれを生じても徐々にたわみが増大し、折れ曲り点は明確でない。また、同一の荷重におけるたわみは、F バリの方が P バリよりも小さく、曲げ剛性が大きい。したがって、終局耐力も F バリの方が大きくなる。

図-4 は設計荷重を上限荷重としたときの繰返し回数 (N) とたわみの関係を示したものである。これによると、P, F バリとも疲労載荷によって、ほぼ直線的に δ が増加し、N=1 回に対する N=200 万回のたわみ増加量は、F バリの方が小さく、疲労を受けても鋼纖維の有効性が認められる。そこで、N=1 回と N=200 万回での δ の変化を表-3 に示す。これによれば、200 万回疲労載荷後も、F バリの δ は P バリの約 85 % に抑制されており、 δ の増加割合 (N=200 万回 / N=1 回) は、両者とも 1.4 倍となっている。すなわち、200 万回疲労載荷によるハリのダメージは、その初期載荷に比例した挙動を示している。したがって、F バリにおける鋼纖維混入効果は、疲労載荷後も十分残存しているといえる。

次に、高応力レベルにおける N~ δ 関係を図-5 に示す。N の増加に伴う δ の増加傾向は、図-4 の設計荷重とは異なり、N の対数と δ の関係は直線性を失い、N の増加に伴う δ の増加も累加される傾向にある。とくに、この傾向は F バリにおいて著しい。すなわち、F バリは高応力レベルの疲労載荷によって、鋼纖維によるたわみ減少効果が失われることを示している。そこで、疲労載荷の上限荷重がほぼ等しい、P-5 と F-6, P-3, 4 と F-5 を比較すると、N=1 回では F バリの方が P バリより δ は小さく抑制されているにもかかわらず、N=200 万回になると、両者ともほぼ同量の δ となっている。したがって同一荷重レベルで考えると、繰返し載荷の初期においては鋼纖維の有効性が認められるが、高応力レベルでの疲労載荷によって、その効果は減少するといえる。また、このようなたわみ性状の F バリから P バリへの移行は、荷重レベルの大きいハリほど、より少ない繰返し回数で生じている。

(2) ひびわれ

F バリのひびわれ性状は図-6 (高応力レベル) でもわかるように、P バリのような急激なひびわれ幅増大点が明確に現

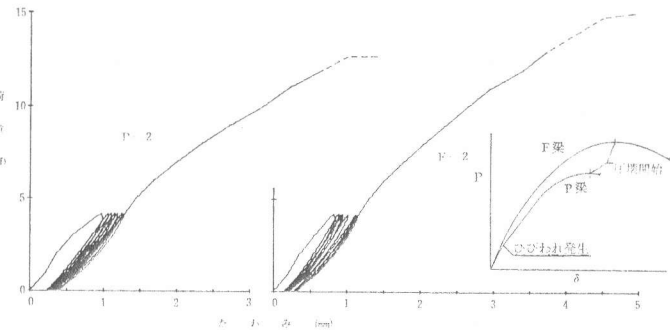


図-3 設計荷重レベルの P- δ 関係

表-3 疲労によるたわみの変化

種別	たわみ (mm)	N=1回/N=200万回 増加倍	増加量
P	0.931	1.323	0.392
残 留	0.199	0.363	0.164
Pmax/残留	21.4%	27.4%	--
F	0.796	1.122	0.326
残 留	0.139	0.297	0.158
Fmax/残留	17.5%	26.5%	--
P _{fl}	85.5%	84.8%	--
P _{fl} 残 留	69.8%	81.8%	--

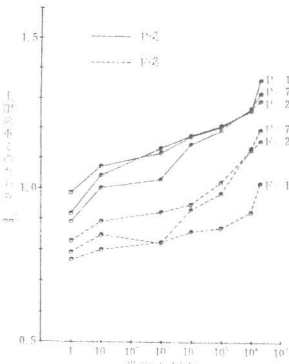


図-4 繰返し回数とたわみ (設計荷重)

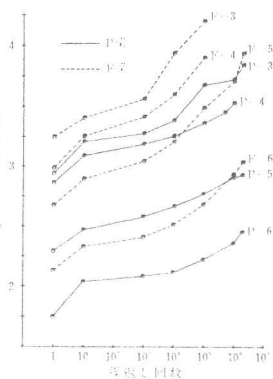


図-5 繰返し回数とたわみ (高応力)

われない。これは、鋼纖維がひびわれの拡大に抵抗し急激なひびわれの進行を緩和するためである。一方、Pパリはひびわれ発生後、すぐに定常ひびわれ状態に達し、ひびわれ幅 (C_w) は P に比例した増加傾向を示すことになる。これに対し、Fパリではひびわれを発生しても、さらに数 t_f の荷重を作用させないと、定常ひびわれ状態に達しない。この間、ひびわれの生じた断面では、鋼纖維の引張応力伝達効果によって、暫時新たなひびわれを発生し続けることになる。

このようにして、任意の荷重段階での C_w は Fパリの方が Pパリより減少することになる。

設計荷重レベルでの疲労載荷による C_w の推移を調べると、表一4のとおりである。これによると、P, Fパリとも 200 万回の疲労載荷によって、 C_w は初期の ($N=1$ 回) 約 1.6 倍に増大することがわかる。

また、Fパリでは鋼纖維のひびわれ拘束効果によって、Pパリの 70 % 強に抑制されており、この効果は 200 万回の疲労載荷を受けても持続されている。これは、たわみの項で示した表一3の効果と同様であるが、ひびわれ性状のように塑性領域において、鋼纖維がより大きな効果を發揮することを示している。

次に高応力レベルでの疲労性状を、 N と C_w の関係で図一7に示す。同一荷重比のハリでの $N=1$ 回の C_w は、ほぼ同一である。しかし、 N の増加に伴って Pパリは直線的に増加するが、Fパリは N の増加とともに累加される。そして、 $N=200$ 万回に達すると、同一荷重レベルの Pパリの C_w に近づく傾向 (F-6 は P-5 へ、F-5 は P-3, 4 へ) をもつてている。このことは、大きな塑性ひずみを生じるひびわれ断面では、鋼纖維のひびわれ拘束効果が N の増加とともに減少することを示している。

(3) 曲げ剛性

設計荷重レベルでの疲労載荷によるハリ中央での曲げ剛性 (EI) の変化状況を図一8に示す。Fパリの EI は Pパリより大きく、鋼纖維が曲げ剛性の増大に寄与している。 $N=200$ 万回になると、ひびわれが中立軸位置まで進行し、EI はひびわれ断面での計算上の EI に近づいてくる。この図を見ると、Fパリの方が Pパリより疲労のダメージが大きいよう見えるが、中立軸の位置を調べると図一9の如くで、Fパリでは中立軸位置の変化は明確でない。すなわち、図一10のように、Fパリの回転角は N によって増加するが、中立軸位置は大きな変化が現われない。したがって、図一10に示したように、鋼纖維の引張抵抗力 (T_f) が 200 万回疲労載荷後も残っているといえる。これをモデル的に表わすと、図一11において、Fパリは C' → D' へ、Pパリは C → D へと変化したのと

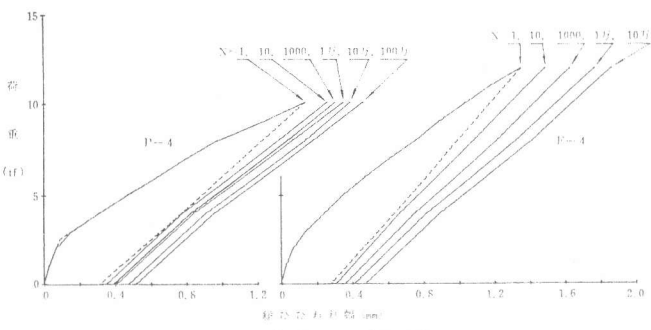


図-6 高応力レベルの P - C_w 関係

表-4 疲労によるひびわれ幅の変化

種別	ひびわれ幅の合計 (mm)		増加比
	$N=1$ 回 [$N=200$ 万回]	増加量	
P 要 求	0.322	0.523	1.624
	残 留	0.072	0.154
F 要 求	22.4% P_{max} 純留	29.4% 0.377	—
	P_{max}	0.238	1.584
F 要 求	残 留	0.033	0.100
	$P_{max}/$ 純留	13.9%	28.9%
F/P 要 求	P_{max}	73.9%	72.1%
	残 留	45.8%	70.6%

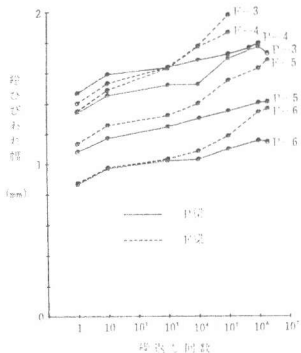


図-7 慣応力レベルにおけるひびわれ幅の推移

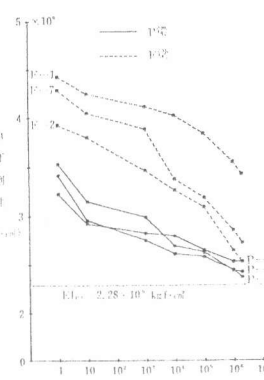


図-8 設計荷重レベルでの EI 変化

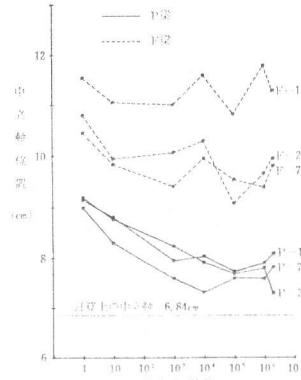


図-9 設計荷重レベルでの中立軸位置

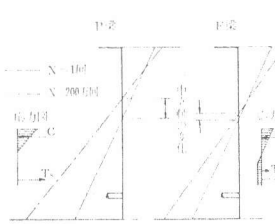


図-10 コンクリート断面のひびみ分布

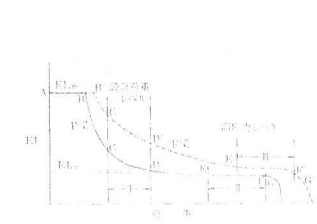


図-11 EI-荷重ゲリ図

同様になる。

一方、高応力レベルでの EI 变化は、図-12 に示すような関係にあり、F バリは N=200 万回に達すると、P バリと同様な EI まで減少する。このときの中立軸位置は 7.5 cm であり、F バリの中立軸位置と同程度となっている。したがって、高応力レベルの疲労載荷によって、図-10 中で示した T_f が減少し、F バリは P バリの性状に近づくものと考えられる。図-11 のモデル図で考えると、P バリは E → F へ移行し、F バリは $E' \rightarrow F$ へ移行すると考えたのと同じである。このように考えることで、表-2 で示したように、P バリより F バリの方がより少ない繰返し回数で破壊していることを説明づけることができる。

(4) 主鉄筋引張応力

図-13, 14 に繰返し回数と主鉄筋の引張応力度 (σ_s) の関係を示す。設計荷重レベルでの疲労載荷では (図-13)、常に F バリの方で σ_s が小さく、疲労によるダメージを鋼纖維が分担し、直接 σ_s を減少する働きを有する。また、間接的には、引張部コンクリートの引張剛性を鋼纖維によって付加することができるため、中立軸位置も P バリより下方にさがり、同一のたわみ角でも σ_s は小さくなる。このような鋼纖維混入効果は 200 万回の疲労載荷によっても失われない。

一方、高応力レベルになると (図-14) F バリでの σ_s 増加傾向が著しく、鋼纖維とモルタルとの付着破壊が進行するため、鋼纖維が分担できる引張力が N の増加とともに減少する。したがって、N の増加に伴って、F-6 は P-5 の σ_s へ、F-5 は P-3, 4 の σ_s へと移行することとなる。このような傾向は、今まで論じてきたたわみやひびわれ幅の増大などでみられるような鋼纖維の疲労挙動と一致している。

4. 結論

SFRC を用いた RC バリと一般のコンクリートを用いた RC バリの相異点を実験的に検討し、鋼纖維の繰返し荷重下における挙動を調べた。結果を要約すると次のとおりである。

- ① 終局耐力の 1/3 程度の、常用される応力レベルでの疲労載荷では、鋼纖維混入効果は静的載荷時と同等であり、200 万回の疲労載荷後も、その効果は持続される。
 - ② 終局耐力の 2/3 以上の応力レベルになると、繰返し回数の増加に伴い、鋼纖維混入効果は減少する。したがって、SFRC を用いた RC バリは、一般のコンクリートを用いた RC バリと同じ曲げ性状を呈することになる。
- のことから、疲労載荷時における鋼纖維混入効果は、必ずしも静的載荷時とは同一ではなく、応力レベルの影響を受けるといえる。本報文では、どの程度の応力レベルまで鋼纖維混入効果が維持できるのかという境界点は明らかにされていない。今後、このような境界点を実験的に把握することが課題となるであろう。

※参考文献※

- 1) 宮戸、猪狩、関口 「鋼纖維補強鉄筋コンクリートバリの曲げ性状」、第1回コンクリート工学年次講演会・講演論文集、pp 373 ~ 376
- 2) 宮戸、関口 「鋼纖維補強コンクリートのひびわれ分散について」、昭. 53 都市木技研年報、pp 117 ~

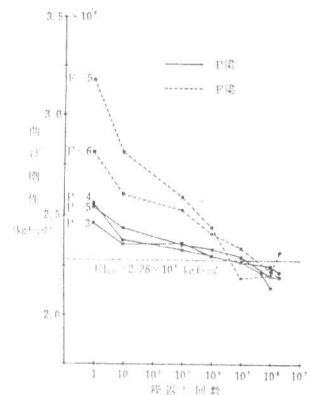


図-12 高応力レベルでの EI 变化

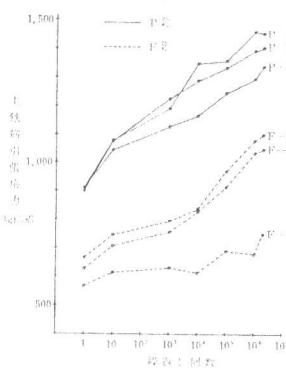


図-13 設計荷重レベルでの σ_s 变化

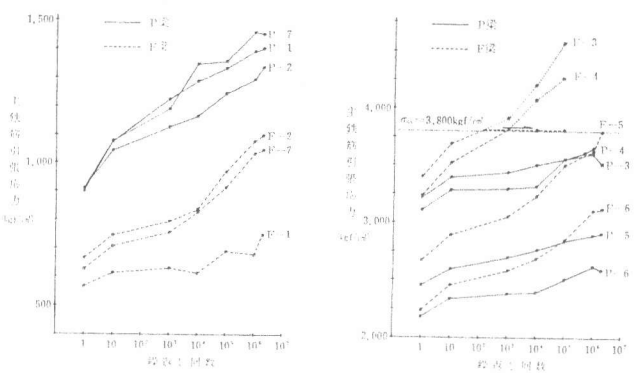


図-14 高応力レベルでの σ_s 变化